

$$g\eta + \frac{\partial f_1}{\partial t} + \frac{\partial f_2}{\partial t} = 0 \quad \dots \dots \dots (7)$$

$$\frac{\partial \eta}{\partial t} + h \frac{\partial^2 f_1}{\partial x^2} + \frac{h}{3} \frac{\partial^2 f_2}{\partial x^2} = 0 \quad \dots \dots \dots (8)$$

$$\frac{\partial \eta}{\partial t} + \frac{h}{3} \frac{\partial^2 f_1}{\partial x^2} + \frac{h}{5} \frac{\partial^2 f_2}{\partial x^2} - \frac{4}{3h} f_2 = 0 \quad \dots \dots \dots (9)$$

となる。式(7)について、入射波成分のみを考えると次のようになる。

$$\frac{\partial f_{1,\text{in}}}{\partial t} + \frac{\partial f_{2,\text{in}}}{\partial t} = -g\eta_{\text{in}} \quad \dots \dots \dots (10)$$

式(6)のうち、 f_1, f_2 については、

$$\frac{\partial f_1}{\partial t} - C \frac{\partial f_1}{\partial x} + r_1 2g\eta_{\text{in}} = 0 \quad \dots \dots \dots (11)$$

$$\frac{\partial f_2}{\partial t} - C \frac{\partial f_2}{\partial x} + r_2 2g\eta_{\text{in}} = 0 \quad \dots \dots \dots (12)$$

ここで、式(11)と式(12)に含まれる重み係数 r_1, r_2 の入射比 $r_1, r_2(r_1+r_2=1)$ については次のように考える。

式(7)を t で偏微分して式(8)、(9)の $\partial \eta / \partial t$ に代入すると、

$$-\frac{1}{g} \left(\frac{\partial^2 f_1}{\partial t^2} + \frac{\partial^2 f_2}{\partial t^2} \right) + h \frac{\partial^2 f_1}{\partial x^2} + \frac{h}{3} \frac{\partial^2 f_2}{\partial x^2} = 0 \quad \dots \dots \dots (13)$$

$$-\frac{1}{g} \left(\frac{\partial^2 f_1}{\partial t^2} + \frac{\partial^2 f_2}{\partial t^2} \right) + \frac{h}{3} \frac{\partial^2 f_1}{\partial x^2} + \frac{h}{5} \frac{\partial^2 f_2}{\partial x^2} - \frac{4}{3h} f_2 = 0 \quad \dots \dots \dots (14)$$

の2式を得る。

ここで f_1, f_2 を次のようにおく。

$$f_1 = a_1 e^{i(kx - \omega t)}, \quad f_2 = a_2 e^{i(kx - \omega t)} \quad \dots \dots \dots (15)$$

a_1, a_2 はそれぞれ、 f_1, f_2 の振幅、 k は波数、 ω は角周波数で分散関係式を満たす。式(13)、式(14)は、次のようにになる。

$$\frac{\omega^2}{g}(a_1 + a_2) - hk^2 a_1 - \frac{hk^2}{3} a_2 = 0 \quad \dots \dots \dots (16)$$

$$\frac{\omega^2}{g}(a_1 + a_2) - \frac{hk^2}{3} a_1 - \frac{hk^2}{5} a_2 - \frac{4}{3h} a_2 = 0 \quad \dots \dots \dots (17)$$

与えられた角周波数 ω に対して式(16)、(17)が自明でない解($a_1 \neq 0, a_2 \neq 0$)を持つための条件を求める。

$$k^2 = \frac{6h^2 \omega^2 - 15gh \pm \sqrt{(6h^2 \omega^2 - 15gh)^2 + 60gh^3 \omega^2}}{2gh^3} = \chi \quad \dots \dots \dots (18)$$

式(18)中の符号が負のときは $k^2 < 0$ となり、この場合、波数が虚数となる。これは減衰定常波を表すので不適である。 $k^2 > 0$ の場合、進行波を表す。

固有値 $k^2 = \chi$ から、 a_1, a_2 の比を $r_1, r_2(r_1+r_2=1)$ で表すと次のようになる。

$$r_1 = \frac{a_1}{a_1 + a_2} = \frac{3\omega^2}{2gh\chi} - 0.5 \quad \dots \dots \dots (19)$$

$$r_2 = \frac{a_2}{a_1 + a_2} = 1.5 - \frac{3\omega^2}{2gh\chi} \quad \dots \dots \dots (20)$$

3. 入射波および計算条件

入射波としてクノイド波2次理論・ストークス波3次理論の保存波を用いた。水面変動 η および $\partial \eta / \partial t$ を求めて、入射波データ η_{in} および $\partial \eta_{\text{in}} / \partial t$ とした。クノイド波、ストークス波のどちらを入射波として用いるかはアーセル数 $U_r = 25$ をその境界とした。入射波の条件を2種類用意し、Case 1とCase 2と呼ぶ。

Case 1: (周期 $T = 7.1$ s, 波高 $H = 1.0$ m, 水深 $h = 10.0$ m)

Case 2: (周期 $T = 7.1$ s, 波高 $H = 2.0$ m, 水深 $h = 10.0$ m)

また、計算領域は断面2次元で、水平方向は500 mとした。数値計算の水平方向差分 Δx と時間差分 Δt を、それぞれ入射波長の1/64、入射波の周期の1/64にした。

4. 数値計算方法

支配方程式は時間については1階の偏微分方程式であり、静水状態を初期状態として、Newton-Raphson法を用いて、未知変数である水面変動 η および重み係数 f_1, f_2 の解を求めた。また、潜堤上を波が伝播する際のエネルギー保存の様子を確認する目的で、エネルギーfluxを調べた。また、水路上の各点における波の時系列データが得られるが、これらをフーリエ解析によって各周波数成分波に分けた。

5. 計算結果

緩勾配の地形としては、ステップ地形と台形潜堤を取り上げる。

●ステップ地形

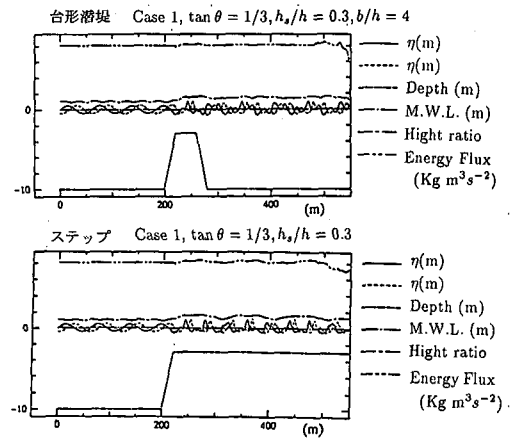


図-1 空間波形およびエネルギーflux等の分布

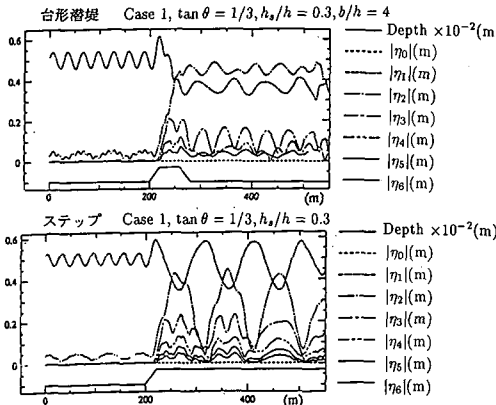


図-2 各成分波振幅の分布

- 段差前の勾配 ($\tan \theta = 1/3, 1/5, 1/10, 1/20$)
- ステップ上水深 ($h_s/h = 0.2, 0.3, 0.4, 0.5, 0.6, 0.7$)

●台形潜堤

- 天端水深 ($h_s/h = 0.2, 0.3, 0.4, 0.5, 0.6, 0.7$)
- 天端幅 ($b/h = 2, 4, 6, 8, 10, 12, 14, 16, 20, 22$)

なお、天端幅は台形上辺の長さを意味する。

構造物周りの波形等の空間分布を図-1に示した。横軸は沖側境界からの距離をとっている。つまり、左端が沖側境界に、右端が岸側境界になる。また、構造物周りの各周波数成分波を図-2に示した。ステップでは、2倍周波数成分波等のビート長(再帰距離) λ が明確になりやすい。本研究では、2倍周波数成分のビート長 λ_2 のみに着目する。理論的には、2倍周波数成分のビート長 λ_2 は次のように決まる(Massel, 1983)。

$$\lambda_2 = 2\pi(k_2 - 2k_1) \dots \quad (21)$$

ただし k_2 は2倍周波数の自由波波数、 k_1 は2倍周波数の拘束波波数であり、以下の分散方程式を満たす。

$$k_2^2 \tanh k_2 h = \frac{4\omega^2}{g} \dots \quad (22)$$

$$k_1^2 \tanh k_1 h = \frac{\omega^2}{g} \dots \quad (23)$$

式(21)～(23)の解は数値計算結果の2倍周波数成分波の波長とほとんど等しい値を得る。

潜堤背後の各成分波振幅(基本、2倍、3倍周波数成分波振幅)の空間分布について考えることにする。潜堤背後の各成分波振幅の空間分布は、自由波と拘束波の非線形干渉によって、一様でなく、ある波形を描く。振幅の空間分布の極大値(ピーク値)と平均値が、ステップ前面勾配・ステップ上水深・潜堤天端幅によってどのように変化するか、その関係を調べてみた。

まず、ステップ前面勾配が、各成分波振幅の空間分布の極大値と、どの様な関係にあるか入射波条件Case 1で検討してみた(図-3)。ステップ前面の勾配が大きいほど

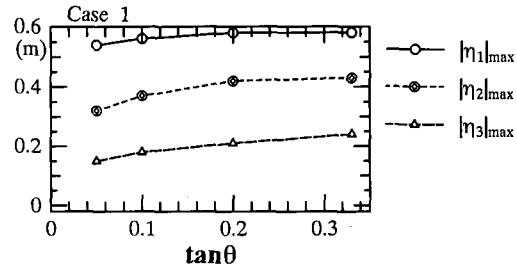


図-3 ステップ前面勾配と各成分波振幅ピーク値

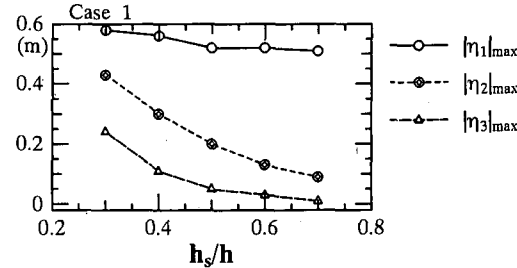


図-4 ステップ上水深と各成分波振幅ピーク値

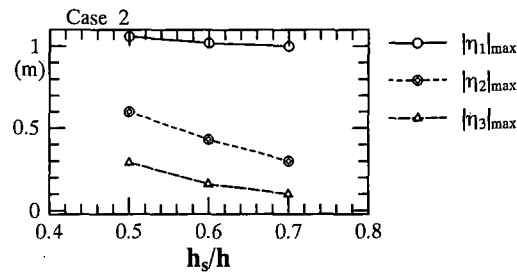


図-5 ステップ上水深と各成分波振幅ピーク値

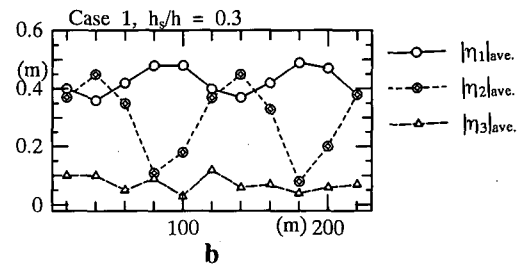


図-6 天端幅と各成分波振幅

2倍、3倍周波数成分波振幅の空間分布のピーク値が増加する。

次に、ステップ上水深が、振幅の空間分布の極大値と、どの様な関係にあるか検討してみた。これもCase 1(図-4)とCase 2(図-5)の2つの入射波の条件で検討しているが、Case 1の場合はステップ天端水深比 $h_s/h = 0.2$ で、Case 2の場合は $h_s/h = 0.4$ で碎波が生じた。天

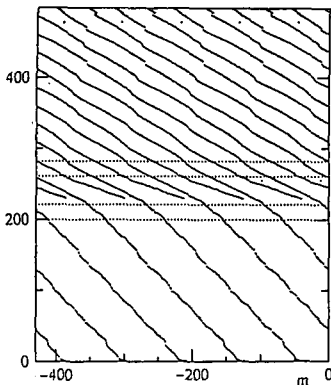
Case 1, $\theta_0=45^\circ$, $\tan \theta=1/3$, $h_s/h=0.3$, $b/h=4$

図-9 平面波浪場の波峰線

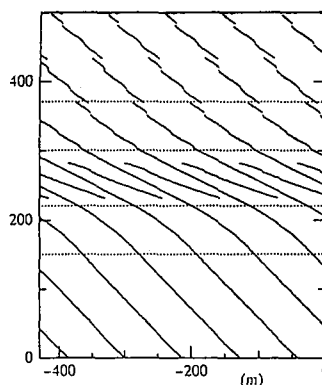
Case 1, $\theta_0=45^\circ$, $\tan \theta=1/10$, $h_s/h=0.3$, $b/h=8$

図-10 平面波浪場の波峰線

式が得られた。境界条件については、境界における岸沖方向の位相速度 C_x を断面 2 次元の境界条件中の位相速度 C におきかえている。入射境界において、波の進行方向が岸沖方向となす角度を θ_0 とすると、入射波の波速が C ならば、岸沖方向の位相速度 C_x と沿岸方向の位相速度 C_y は、

$$C_x = \frac{C}{\cos \theta_0}, \quad C_y = \frac{C}{\sin \theta_0} \quad \dots \dots \dots \quad (32)$$

で表される。前述したように、沿岸方向の位相速度 C_y は、常に一定である。以後、 $y=0$ の断面の波浪場の時間発展の様子を数値計算で解析していく。

7. 平面波浪場の数値計算結果

入射波の条件は Case 1。波の入射角は 45 度。計算領域長は 500 m。平面波浪場の数値計算といつても $y=0$ の断面 2 次元の波浪場が得られるわけであるが、ある断面の時間発展の様子は、ある瞬間の平面的な空間波浪分布の様子と同じである。そこで、断面 2 次元水面変動空間分布から、水面変動の極大値をプロットすることで、平面的な波峰の連なりを得る(図-9)。潜堤上で波峰線の方向が変化し、波が屈折している様子がわかる。また、主波峰の間に 2 次波峰が生じているのがわかる。潜堤の勾配を $\tan \theta=1/10$ と緩くして、天端幅も ($b=8h$) と長くとり、その他の条件は同じにして計算を行った(図-10)。潜堤背後では、2 倍周波数成分波の発達の程度によって波峰線も様子が異なる。潜堤背後の波峰線は主波峰のみである。

8. 結論

本研究において得られた主な結論を以下に述べる。

- ・潜堤上で発生するは高周波数成分波の振幅は、潜堤前

面の勾配が大きいほど、天端水深が浅いほど増加する。
 • 潜堤背後の高周波数成分波は、潜堤幅が 2 倍周波数成分波の再帰距離の整数倍の時に振幅が小さく、 $(2n+1)/2$ 倍の時に大きくなる。
 • 入射波は、周期が長いほど、波形勾配が大きいほど、潜堤背後での高周波数成分波の発達が顕著になる。
 • 潜堤に斜めに入射する波の屈折を数値解析したところ、直角入射の場合と同様に高周波成分波が発生した。高周波成分波は波速の一様性を満足するために、基本周波数成分波よりも波向が汀線直角方向に近づいたため、全体として図-9 のように潜堤前後で波向が変化することになった。すなわち、潜堤を利用した波の非線形変形により、波の周期や波向を制御することが可能となることが示された。

参考文献

- 磯部雅彦(1994): 波浪変形解析のための波動方程式の比較研究, 土木学会論文集, No. 491/II-27, pp. 1-14.
 磯部雅彦(1994): 非線形緩勾配波動方程式の提案, 海岸工学論文集, 第 41 卷, pp. 1-5.
 大山 巧・灘岡和夫(1991): 数値波動水槽を用いた潜堤による波の分裂現象の解析, 海岸工学論文集, 第 38 卷, pp. 16-20.
 大山 巧・灘岡和夫(1992): 潜堤を通過する非線形波列の分裂現象の解析, 土木学会論文集, No. 450/II-20, pp. 31-40.
 坪田勇人・磯部雅彦・渡辺 晃(1994): 潜堤を用いた波浪制御に関する研究, 海岸工学論文集, 第 41 卷, pp. 641-645.
 Isobe, M. and N. C. Kraus (1983a): Derivation of a third-order Stokes wave theory, Hydraulics Lab. Rep., No. YNU-HY-83-2, Dept. of Civil Eng., Yokohama Nat. Univ.
 Isobe, M. and N. C. Kraus (1983b): Derivation of a second-order Cnoidal wave theory, Hydraulics Lab. Rep., No. YNU-HY-83-2, Dept. of Civil Eng., Yokohama Nat. Univ.
 Massel, S. R. (1983): Harmonic generation by waves propagating over a submerged step, Coastal Eng., Volume 7, pp. 357-380.